

УДК 539.3

**НАПРЯЖЕННОЕ СОСТОЯНИЕ НЕОГРАНИЧЕННОГО ПРОСТРАНСТВА
ВБЛИЗИ ЦИЛИНДРИЧЕСКОЙ ПОЛОСТИ С НЕКРУГОВОЙ ФОРМОЙ
ПОПЕРЕЧНОГО СЕЧЕНИЯ ДЛЯ СТАРЕЮЩИХ
УПРУГОВЯЗКОПЛАСТИЧЕСКИХ МАТЕРИАЛОВ**

© 2020 г. Д. В. Гоцев^{a,b,*}, А. В. Ковалев^{a,b,**}, А. Ю. Яковлев^{a,***}

^a Воронежский государственный университет, Воронеж, Россия

^b Военный учебно-научный центр Военно-воздушных сил

“Военно-воздушная академия им. проф. Н.Е. Жуковского и Ю.А. Гагарина”, Воронеж, Россия

*e-mail: rbgotsev@mail.ru

**e-mail: kav-mail@mail.ru

***e-mail: yakovlev@amm.vsu.ru

Поступила в редакцию 18.05.2020 г.

После доработки 11.06.2020 г.

Принята к публикации 15.08.2020 г.

Настоящая работа посвящена определению напряженного состояния неограниченного пространства в окрестности цилиндрической полости (толстостенная плита с отверстием), имеющей в поперечном сечении форму близкую к правильной многоугольной (задача Галина–Ивлева). В качестве модели материала пространства использовалась модель среды, учитывающая стареющие упруговязкопластические свойства. Решение проводилось в рамках метода малого параметра, характеризующего отклонение формы отверстия от окружности, а также возмущение статических граничных условий. При этом невозмущенному состоянию соответствует осесимметричное упругопластическое напряженно-деформированное состояние толстой плиты с круговым отверстием из стареющего упруговязкопластического материала. В результате решения задачи получены аналитические выражения для компонент напряжений, а также уравнение для определения формы и размера границы раздела зон упругого и пластического деформирования плиты.

Ключевые слова: модель стареющего упруговязкопластического материала, двухосное растяжение, толстая плита с некруговым отверстием, метод возмущений, напряженное состояние

DOI: 10.31857/S0572329920060082

Модель наследственно стареющего вязкопластического материала была предложена Д.Д. Ивлевым и Н.Х. Арутюняном в работе [1]. В работах Ф.Б. Милявской построены поля напряжений в толстой плите из стареющего материала вблизи кругового [2] или эллиптического [3] отверстия при двухосном растяжении.

Подходы к постановке и исследованию неклассических задач наращивания вязкоупругих стареющих тел, основанные на приведении к задачам теории упругости, а также математические методы их решения активно и успешно разрабатываются в рамках научной школы, созданной А.В. Манжировым (см., например, [4–6]).

На основе общих идей теории возмущений в работах А.Н. Спорыхина и его учеников развита трехмерная линеаризованная теория устойчивости сложных сред, в том числе сред, обладающих одновременно упругими, вязкими и пластическими

свойствами при малых и конечных докритических деформациях [см., например, 7, 8]. С использованием схемы Ивлева–Ершова [9] получен ряд приближенных решений одного класса цилиндрических задач для упруговязкопластических материалов [см., например, 10], в том числе с учетом температурных эффектов [11].

Настоящим исследованием авторы продолжают цикл работ Д.Д. Ивлева и его учеников в направлении получения аналитических зависимостей, описывающих напряженные состояния в плоских упругопластических задачах о толстых плитах с некруговыми отверстиями методом малого параметра.

В данной статье решается задача о распределении поля напряжений в толстой плите, ослабленной цилиндрической полостью с формой поперечного сечения близкой к правильной m -угольной (m – количество сглаженных углов многоугольника). Материал плиты моделируется стареющей средой с упруговязкопластическими свойствами. На бесконечности плита растягивается взаимно перпендикулярными усилиями с интенсивностями $P_1(t)$ и $P_2(t)$. По внутренней поверхности полости приложена равномерно распределенная нагрузка интенсивностью $P_0(t)$. Рассматривается такая схема нагружения, при которой в плите возникает зона пластического деформирования материала, полностью охватывающая внутреннюю поверхность цилиндрической полости. Необходимым условием реализации такого состояния является условие монотонного возрастания функциональных зависимостей $P_1(t)$ и $P_2(t)$. Задача решается методом малого параметра в рамках плоско-деформированного состояния в цилиндрической системе координат (ρ, θ, z) , при этом ось $0z$ направлена вдоль цилиндрической полости.

В зоне неупругих деформаций выполняется условие наследственной пластичности [1]

$$\frac{1}{4} \left(\frac{\sigma_\rho(t) - \sigma_\theta(t)}{k(t)} + \int_0^t (\sigma_\rho(\tau) - \sigma_\theta(\tau)) K^*(t, \tau) d\tau \right)^2 + \left(\frac{\tau_{\rho\theta}}{k(t)} + \int_0^t K^*(t, \tau) \tau_{\rho\theta}(\tau) d\tau \right)^2 = 1 \quad (1)$$

где $K^*(t, \tau)$ – ядро наследственного оператора [1–3], $k(t)$ – переменный предел текучести, $\sigma_\rho, \sigma_\theta, \tau_{\rho\theta}$ – радиальная, тангенсальная и касательная компоненты тензора напряжений соответственно.

Решение будем проводить в рамках метода возмущений. В качестве малого параметра выберем величину δ , характеризующую отклонение формы рассматриваемого контура поперечного сечения полости от окружности, а также возмущение статических граничных условий. В этом случае все решения задачи представляются в виде рядов по степеням этого малого параметра [9, 10], при этом ограничимся только линейными по δ членами разложения

$$\sigma_\rho = \sigma_\rho^{(0)} + \delta \sigma_\rho^{(1)}, \quad \sigma_\theta = \sigma_\theta^{(0)} + \delta \sigma_\theta^{(1)}, \quad \tau_{\rho\theta} = \tau_{\rho\theta}^{(0)} + \delta \tau_{\rho\theta}^{(1)}, \quad r_s(t) = r_s^{(0)}(t) + \delta r_s^{(1)}(t) \quad (2)$$

где верхний индекс указывает на номер приближения, $r_s(t)$ – радиус упругопластической границы в плите.

В плоскости плиты, перпендикулярной оси $0Z$, согласно [10] запишем уравнение контура, ограничивающего отверстие в плите до деформации

$$\rho = \alpha(1 + \delta d_1 \cos m\theta - \dots) \quad (3)$$

где α – радиус кругового контура в невозмущенном состоянии.

Возмущение статических граничных условий примем в виде

$$\frac{P_1(t) - P_2(t)}{2} = \delta \cdot d_2 \quad (4)$$

В соотношениях (3), (4) d_1, d_2 – константы, принимающие значения из отрезка $[0, 1]$. При этом вариант $d_1 = 0, d_2 \neq 0$ – соответствует двухосному растяжению толстой

плиты с круговым отверстием, а в случае $d_2 = 0$, $d_1 \neq 0$ имеет место плита с отверстием близким по форме к правильному m -угольному под действием нормального давления.

Решение проведем в безразмерных параметрах и переменных, оставив им их прежние обозначения. При этом величины, имеющие размерность напряжений, отнесем к $k_\infty = \lim_{t \rightarrow \infty} k(t)$; величины, имеющие размерность длины отнесем к радиусу $r_s^{(0)}(0)$ упругопластической границы в плите для нулевого приближения в начальный момент времени; время t отнесем к некоторой константе t_0 , имеющей размерность времени.

В качестве нулевого приближения выберем осесимметричное состояние неограниченного пространства, содержащего цилиндрическую полость, имеющую в поперечном сечении форму окружности радиуса α . На бесконечности данная конструкция растягивается взаимно перпендикулярными усилиями с интенсивностью $P(t) = (P_1(t) + P_2(t))/k_\infty$.

В этом случае согласно [2, 3] поля напряжений в упругой области деформирования толстостенной плиты описываются формулами

$$\sigma_\rho^{(0)e} = P(t) - \frac{\varphi(t)k(t)}{\rho^2}, \quad \sigma_\theta^{(0)e} = P(t) + \frac{\varphi(t)k(t)}{\rho^2}, \quad \tau_{\rho\theta}^{(0)e} = 0 \quad (5)$$

в пластической зоне соотношениями

$$\sigma_\rho^{(0)p} = 2k(t)\varphi(t)\ln\left(\frac{\rho}{\alpha}\right) - P_0(t), \quad \sigma_\theta^{(0)p} = 2k(t)\varphi(t)\left(\ln\left(\frac{\rho}{\alpha}\right) + 1\right) - P_0(t), \quad \tau_{\rho\theta}^{(0)p} = 0 \quad (6)$$

Здесь и далее индекс “ p ” сверху величин указывает их принадлежность к пластической зоне, а индекс “ e ” – к упругой, $\varphi(t)$ – функция от времени.

Радиус раздела зон упругого и пластического деформирования в толстой плите в нулевом приближении описывается следующим выражением

$$r_s^{(0)}(t) = \alpha \cdot \sqrt{\exp\left(\frac{P(t) - P_0(t)}{k(t)\varphi(t)} - 1\right)} \quad (7)$$

Знание аналитических зависимостей (5)–(7), описывающих нулевое приближение позволяет перейти к определению решения в первом приближении.

Граничные условия на бесконечности для первого приближения имеют вид [9]

$$\sigma_\rho^{e\infty} = P(t) - \delta d_2 \cos 2\theta, \quad \sigma_\theta^{e\infty} = P(t) + \delta d_2 \cos 2\theta, \quad \tau_{\rho\theta}^{e\infty} = \delta d_2 \sin 2\theta \quad (8)$$

Общий вид линеаризованных условий сопряжения в напряжениях на упругопластической границе в плите для первого приближения описываются соотношениями

$$\left[\sigma_{ij}^{(1)} + \frac{\partial \sigma_{ij}^{(0)}}{\partial \rho} r_s^{(1)} \right]_{\rho=1} = 0 \quad (9)$$

В (9) и далее квадратные скобки обозначают разность стоящих в них величин в упругой и пластической областях.

Граничные условия на внутреннем контуре отверстия в толстой плите с учетом (3) и [1, 2, 12] представляются следующими выражениями

$$\sigma_\rho^{(1)p} \Big|_{\rho=\alpha} = -2d_1 k(t)\varphi(t) \cos m\theta, \quad \tau_{\rho\theta}^{(1)p} \Big|_{\rho=\alpha} = -2md_1 k(t)\varphi(t) \sin m\theta \quad (10)$$

В пластической области плиты ($\alpha < \rho < 1$), согласно [1, 9, 10] и с учетом условий (10) выражения для напряжений в первом приближении имеют вид

$$\begin{aligned} \sigma_{\rho}^{(1)p} = \sigma_{\theta}^{(1)p} &= \frac{2}{\rho} \alpha d_1 k(t) \varphi(t) (\sqrt{m^2 - 1} \sin \gamma - \cos \gamma) \cos m\theta, \\ \tau_{\rho\theta}^{(1)p} &= \frac{2}{\rho} m \alpha d_1 k(t) \varphi(t) \cos \gamma \sin m\theta \end{aligned} \quad (11)$$

где величина $\gamma = \sqrt{m^2 - 1} \ln(\rho/\alpha)$.

В упругой области при $\rho > 1$ согласно [1, 3, 10, 13] и при учете граничных условий (8), напряженное состояние описывается формулами

$$\begin{aligned} \sigma_{\rho}^{(1)e} &= d_2 \left(\frac{4}{\rho^4} - \frac{3}{\rho^2} - 1 \right) \cos 2\theta + \alpha d_1 k(t) \varphi(t) \left(\sqrt{m^2 - 1} \sin \gamma^* \left(\frac{(m+2)}{\rho^m} - \frac{m}{\rho^{-m-2}} \right) + \right. \\ &\quad \left. + \cos \gamma^* \left(\frac{(m+2)(m-1)}{\rho^m} - \frac{m(m+1)}{\rho^{-m-2}} \right) \right) \cos m\theta, \\ \sigma_{\theta}^{(1)e} &= d_2 \left(\frac{3}{\rho^4} + 1 \right) \cos 2\theta + \alpha d_1 k(t) \varphi(t) \left(\sqrt{m^2 - 1} \sin \gamma^* \left(\frac{(m-2)}{\rho^m} + \frac{m}{\rho^{-m-2}} \right) + \right. \\ &\quad \left. + \cos \gamma^* \left(\frac{(m-2)(m-1)}{\rho^m} + \frac{m(m+1)}{\rho^{-m-2}} \right) \right) \cos m\theta, \\ \tau_{\rho\theta}^{(1)e} &= d_2 \left(1 - \frac{3}{\rho^4} + \frac{2}{\rho^2} \right) \cos 2\theta + m \alpha d_1 k(t) \varphi(t) \left(\sqrt{m^2 - 1} \sin \gamma^* \left(\frac{1}{\rho^m} - \frac{1}{\rho^{-m-2}} \right) + \right. \\ &\quad \left. + \cos \gamma^* \left(\frac{(m-1)}{\rho^m} - \frac{(m+1)}{\rho^{-m-2}} \right) \right) \end{aligned} \quad (12)$$

где $\gamma^* = \gamma|_{\rho=1}$.

Таким образом, полученные соотношения (11), (12) определяют напряженное состояние в толстой плите из стареющего упруговязкопластического материала для первого приближения.

Вид упругопластической границы в первом приближении $r_s^{(1)}$ определяется линеаризованным условием [2, 9]

$$r_s^{(1)} = -[\sigma_{\theta}^{(1)}] \cdot \left[\frac{\partial \sigma_{\theta}^{(0)}}{\partial \rho} \right]^{-1} \Bigg|_{\rho=1} \quad (13)$$

Из (13) с учетом (11), (12) получим соотношение для определения радиуса упругопластической границы в толстой плите для первого приближения в форме

$$r_s^{(1)} = \frac{d_2 r_s^{(0)}(t)}{k(t) \varphi(t)} \cos 2\theta + \alpha d_1 (\sqrt{m^2 - 1} (m-2) \sin \gamma^* + m(m-1) \cos \gamma^*) \cos m\theta \quad (14)$$

Анализ выражений (11), (12), (14) показывает, что при постоянных нагрузках и $k(t) = k(0)$ решение совпадает с результатами упругопластической задачи [9, 10]; если в указанных соотношениях положить $d_1 = 0$, то приходим к решению [2] задачи о двухосном растяжении толстой плиты с круговым отверстием; если в соотно-

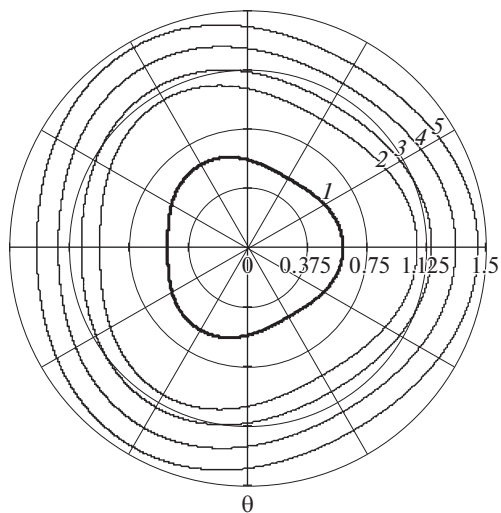


Рис. 1

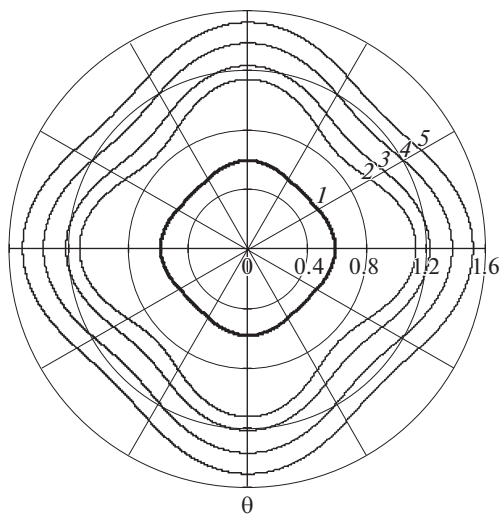


Рис. 2

шениях (11), (12), (14) принять $d_2 = 0$ и $m = 2$, то полученные решения совпадают с решениями [3] задачи о толстой плите с эллиптическим отверстием под действием нормального давления.

Для построения графических зависимостей, иллюстрирующих форму и размер упругопластической границы в плите в различные моменты времени, положим [3]

$$k(t) = \frac{1 - \beta \cdot e^{-\alpha t}}{1 - \beta}, \quad K(\tau) = \frac{\alpha \beta (1 - \beta) \cdot e^{-\alpha t}}{(1 - \beta \cdot e^{-\alpha t})^2}, \quad \varphi(t) = \frac{(1 - \beta \cdot e^{-\alpha t})^2}{(1 - \beta)^2}$$

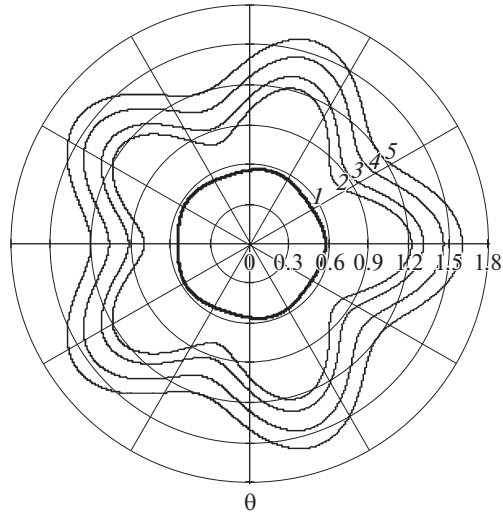


Рис. 3

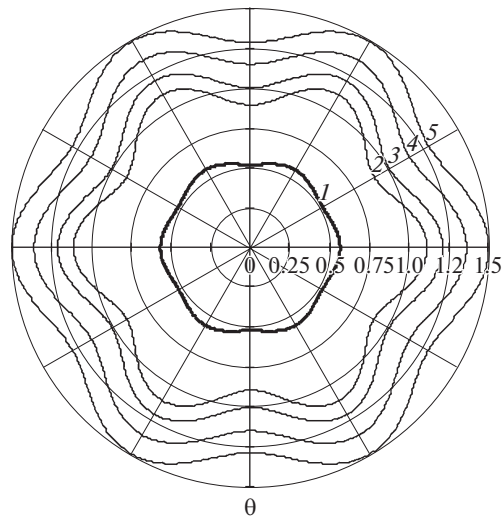


Рис. 4

В качестве оставшихся относительных исходных данных примем

$$P_0(t) = 0, \quad P_1(t) = 2 - 1.2 \cdot e^{-0.1t}, \quad P_2(t) = 1.84 - 1.2 \cdot e^{-0.1t},$$

$$\delta = 0.03, \quad d_1 = d_2 = 1, \quad \alpha = 0.5, \quad \beta = 0.2$$

На рисунках 1–4 представлены контур отверстия в плите (кривые 1), а также форма и размер границы раздела зон упругого и пластического деформирования материала в различные моменты времени (кривые 2, 3, 4, 5) для случаев контура отверстия близкой к правильной треугольной форме ($m = 3$ – рис. 1), квадратной ($m = 4$ – рис. 2),

правильной пятиугольной ($m = 5$ – рис. 3) и правильной шестиугольной ($m = 6$ – рис. 4). При этом на каждом из рисунков 1–4 кривые 2 соответствуют начальному моменту времени $t = 0$, кривые 3, 4 – относительным моментам $t = 12, 20$, кривые 5 описывают положение и форму упругопластической границы при $t \rightarrow \infty$.

Отметим, что используемый в настоящей работе подход применения метода малого параметра для получения аналитических зависимостей, описывающих поля напряжений и перемещений в толстых плитах с некруговыми отверстиями допускает обобщение на случаи более сложных моделей сред, предложенных в [1]. В частности данный подход может быть использован для получения аналитических зависимостей для модели наследственно неоднородно-стареющего трансляционно-упрочняющегося упруговязкопластического тела.

СПИСОК ЛИТЕРАТУРЫ

1. Арутюнян Н.Х., Ивлев Д.Д. К теории вязкопластичности неоднородно-стареющих тел // Изв. АН АрмССР. Механика. 1996. Т. 35. № 5. С. 22–26.
2. Милявская Ф.Б. Двухосное растяжение пластины с круговым отверстием из стареющего упругопластического материала // Краевые задачи и их приложения. Чебоксары: Чуваш. университет. 1986. С. 82–90.
3. Милявская Ф.Б. О двухосном растяжении толстой пластины с эллиптическим отверстием из стареющего материала // Краевые задачи и их приложения. – Чебоксары: Чуваш. университет. 1987. С. 169–174.
4. Арутюнян Н.Х., Манжиров А.В. Контактные задачи теории ползучести. Ереван: Институт механики НАН, 199. 320 с.
5. Manzhirrov A.V. Fundamentals of mechanical design and analysis for am fabricated parts, *Procedia Manufacturing*. 2017. V. 7. P. 59–65.
<https://doi.org/10.1016/j.promfg.2016.12.017>
6. Паршин Д.А. Аналитические решения задачи об аддитивном формировании неоднородного упругого шарового тела в произвольном нестационарном центральном поле сил // Изв. РАН. МТТ. 2017. № 5. С. 70–82.
7. Спорыхин А.Н., Шашкин А.И. Устойчивость равновесия пространственных тел и задачи механики горных пород. М.: ФИЗМАТЛИТ, 2004. 232 с.
8. Андреева И.Ю., Гоцев Д.В., Спорыхин А.Н. Устойчивость слоистой цилиндрической оболочки с упруговязкопластическим наполнителем при нагружении // В сборнике: Современные проблемы механики и прикладной математики сб. трудов международной школы-семинара. Ответст. ред. А.Д. Чернышов. 2004. С. 20–23.
9. Горностаев К.К., Ковалев А.В. О симметричной деформации упрочняющейся упруговязкопластической трубы с учетом температуры // Вестник Чувашского государственного педагогического университета им. И.Я. Яковлева. Серия: Механика предельного состояния. 2015. № 3 (25). С. 176–184.
10. Ивлев Д.Д., Еришов Л.В. Метод возмущений в теории упругопластического тела. М.: Наука, 1978. 208 с.
11. Спорыхин А.Н., Ковалев А.В., Щеглова Ю.Д. Неоднородные задачи упруговязкопластичности с неизвестной границей. Воронеж: Изд-во ВГУ, 2004. 219 с.
12. Ковалев А.В., Яковлев Д.В. Двухосное растяжение упругопластического пространства с призматическим включением // Современные методы в теории краевых задач. Воронежская весенняя математическая школа. 1999. С. 287.
13. Бицено К.Б., Граммель Р. Техническая динамика. Л.: Гостехиздат, 1950. Т. 1. 900 с.